Bertrand - Yves MAFART

Laboratoire de Paléontologie Humaine et de Préhistoire et Laboratoire d'Anthropologie U. R. A. N° 13 du C. R. A. Marseille

L'abbaye Saint-Victor de Marseille Étude anthropologique de la nécropole des IVème - VIème siècles

PALEOECOLOGIE DE L'HOMME FOSSILE

4

EDITIONS DU CENTRE NATIONAL DE LA RECHERCHE SCIENTIFIQUE

15, Quai Anatole-France - 75700 PARIS

TALUS

L'étude, sexes séparés, des os du tarse n'est pas réalisable vu le petit nombre d'os identifiés. Nous supposerons le sex-ratio identique dans toutes les séries de comparaisons.

I - CARACTERES METRIQUES

1. Longueur, largeur et hauteur

Ces trois dimensions traduisent le volume général de l'os. Elles sont associées dans le tableau 123 et les figures 87 et 88. La première compare les séries médiévales et la seconde, les préhistoriques à la nôtre. Saint-Victor se situe dans les valeurs moyennes. Parmi les gisements contemporains, nous relevons les mesures fortes des hommes à Potenzia et des Burgondes. Ceux-ci présentent contrairement aux Blussangeois une largeur relativement faible. Les populations plus anciennes ont des talus de moindre gabarit. Les Néolithiques des Peyraoutes diffèrent significativement de notre série pour toutes les dimensions, la largeur gauche exceptée.

2. Indices de largeur et hauteur

Les deux indices semblent être corrélés positivement (tabl. 124 et fig. 89). L'indice de largeur est élevé chez les hommes à Blussangeaux, à Potenzia, chez les Européens et aux Peyraoutes. Leurs hauteurs relativement faibles expliquent leurs positions excentriques sur le graphe. Notre série est caractérisée par un indice de hauteur élevée pour un indice de largeur moyen.

3. Longueur de la trochlée

La même hiérarchie que pour les dimensions principales est retrouvée. Les sujets des Peyraoutes font exception par leur forte longueur.

4. Dimensions et indice de la facette postéro-inférieure pour le calcaneus

Les Francs d'Ennery sont seuls à présenter de fortes dimensions.

Nos mesures sont proches de celles des Européens. L'indice montre l'étroitesse de cette facette à Feigneux et Bellefonds.

5. Angle de torsion de la tête

L'axe de la tête fait à Saint-Victor un angle très aigu avec le plan de la face inférieure de l'os. La voûte plantaire semble donc peu élevée. Il s'en rapproche Ennery et Roanne d'une part, Feigneux et Bellefonds d'autre part (tabl. 125 et 126, fig. 90). Les valeurs européennes, quel qu'en soit l'auteur, sont plus élevées ainsi que celles de Blussangeaux.



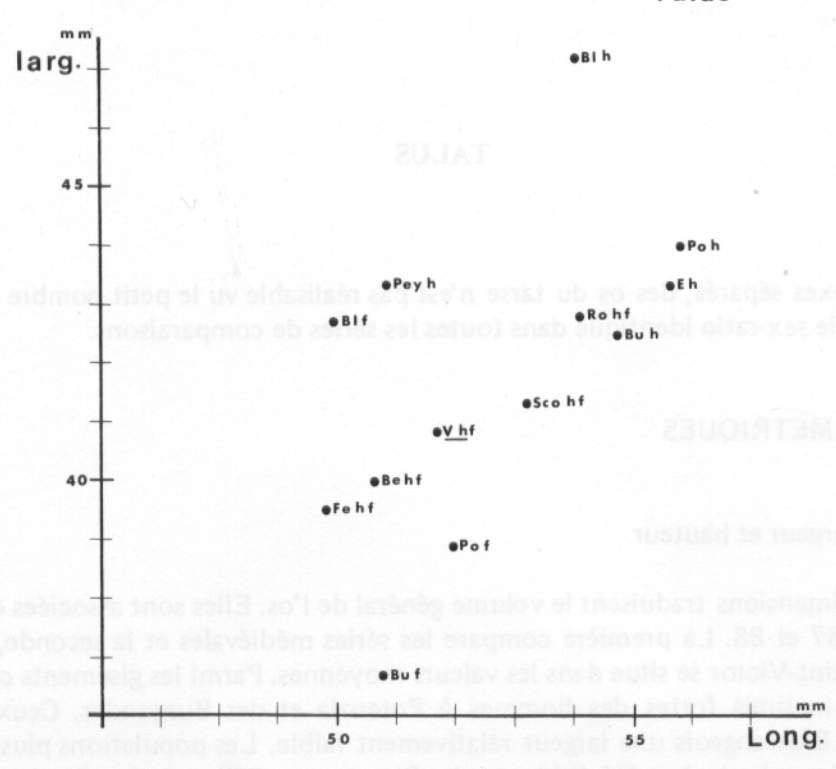


FIG.87

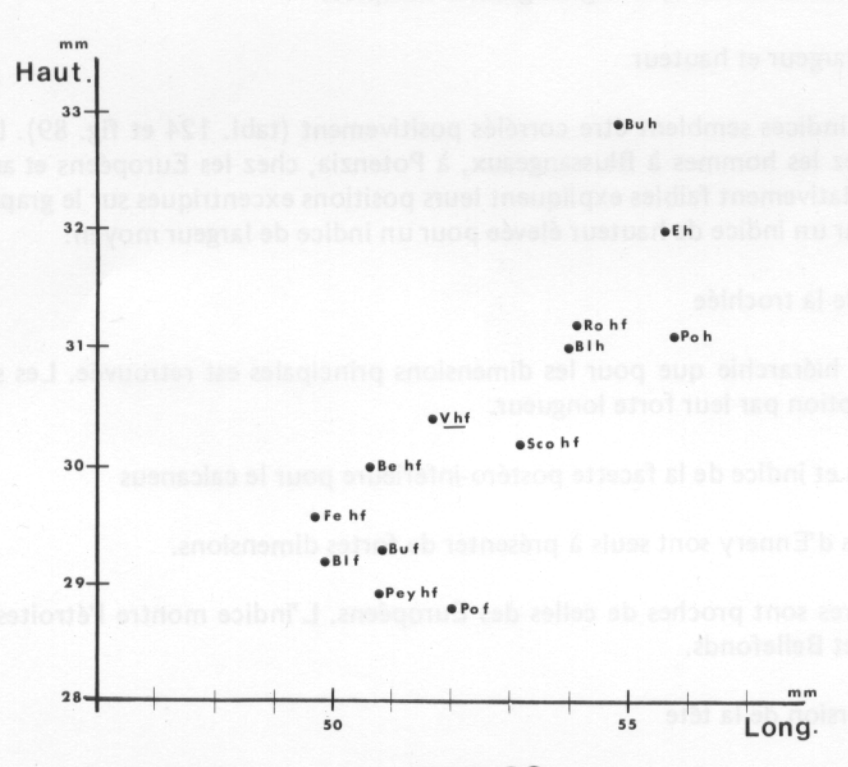


FIG.88

Abréviations: _ h.hommes _ f.femmes _ hf.sexes mélangés _

- _ V.S[†] Victor _ Sco.Scoglietto _ Po.Potenzia _ Ta.Tarragone _ Amp.Ampurias _
- _ MJ. Montjuich _ J. S[†]Just _ Bl. Blussangeaux _ Bu. Burgondes _ LM. Les Mémoires _
- _ Ba.Baye _ E.Ennery _ Ro.Roanne _ Al.Alger _ Pey.Les Peyraoutes _

				Longueu	ir		Largeur		Hau	ıteur
Séries	Sexe	Côté	N	Moy.	S	N	Moy.	S	N	Moy.
Saint-Victor	H + F	D	36	51,8	3,8	31	40,3	3,2	32	30,2
Samt-Victor	H + F	G	47	51,6	3,3	41	41,1	3,3	45	30,6
Scoglietto	H + F	D+G	8	53,2	4,1	8	41,3	3,2	8	30,2
Potenzia	Н	D+ G	14	55,8	3,10	11	44,0	2,58	14	31,1
rotelizia	F	D+G	9	52,0	1,20	9	38,9	2,65	8	28,8
Burgondes	Н	D+G	10	54,8	_	10	42,5		9	32,9
burgondes	F	D+ G	6	50,8	_	6	36,7	_	6	29,3
Divergence	Н	D+G	27	54,0	2,81	27	47,2	2,37	36	31,0
Blussangeaux	F	D+ G	26	49,9	2,79	18	42,7	2,63	22	29,2
Baye	F	G	1	47	_	1	37	_	1	28,5
Ennery	Н	D+ G	17	55,6	2,45	17	43,3	2,11	17	32,0
Roanne	H + F	D+ G	19	54,1	3,43	20	42,8	3,45	20	31,2
Les Peyraoutes	H+F	D	37	50,8	3,26	37	43,3	3,75	37	28,9
Les reyraoutes	H + F	G	32	50,8	3,07	32	43,4	4,17	32	28,8
Faignauy	H + F	D	34	49,7	3,83	32	39,9	3,7	32	29,6
Feigneux	H + F	G	13	49,8	3,48	33	39,3	2,94	33	29,5
Dallafanda	H+F	D	43	50,6	2,88	39	39,9	2,60	40	29,7
Bellefonds	H + F	G	46	50,6	3,45	36	40,0	3,07	40	30,2

Tableau 123 - Longueur, largeur et hauteur des talus dans les différentes séries et à Saint-Victor

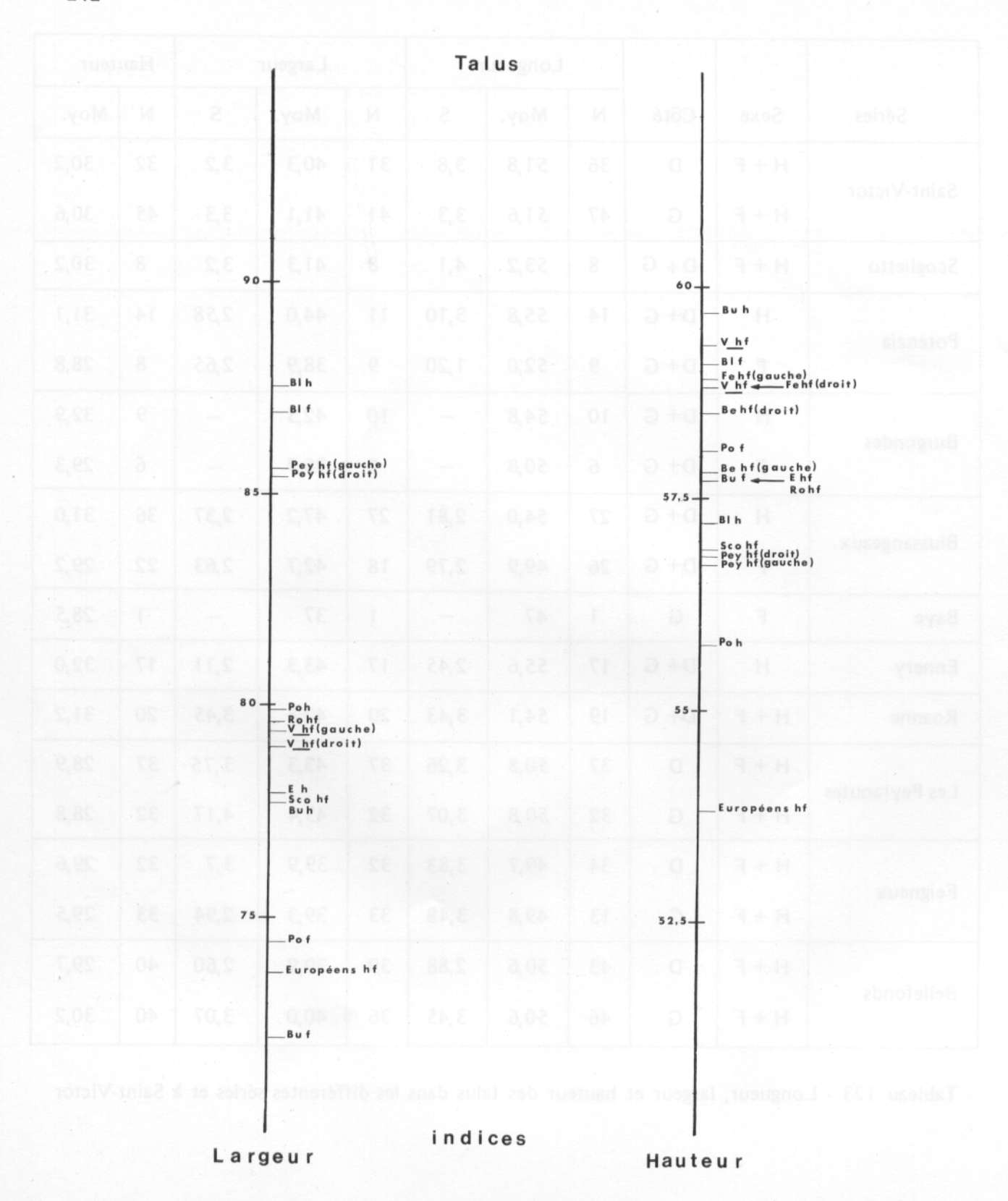
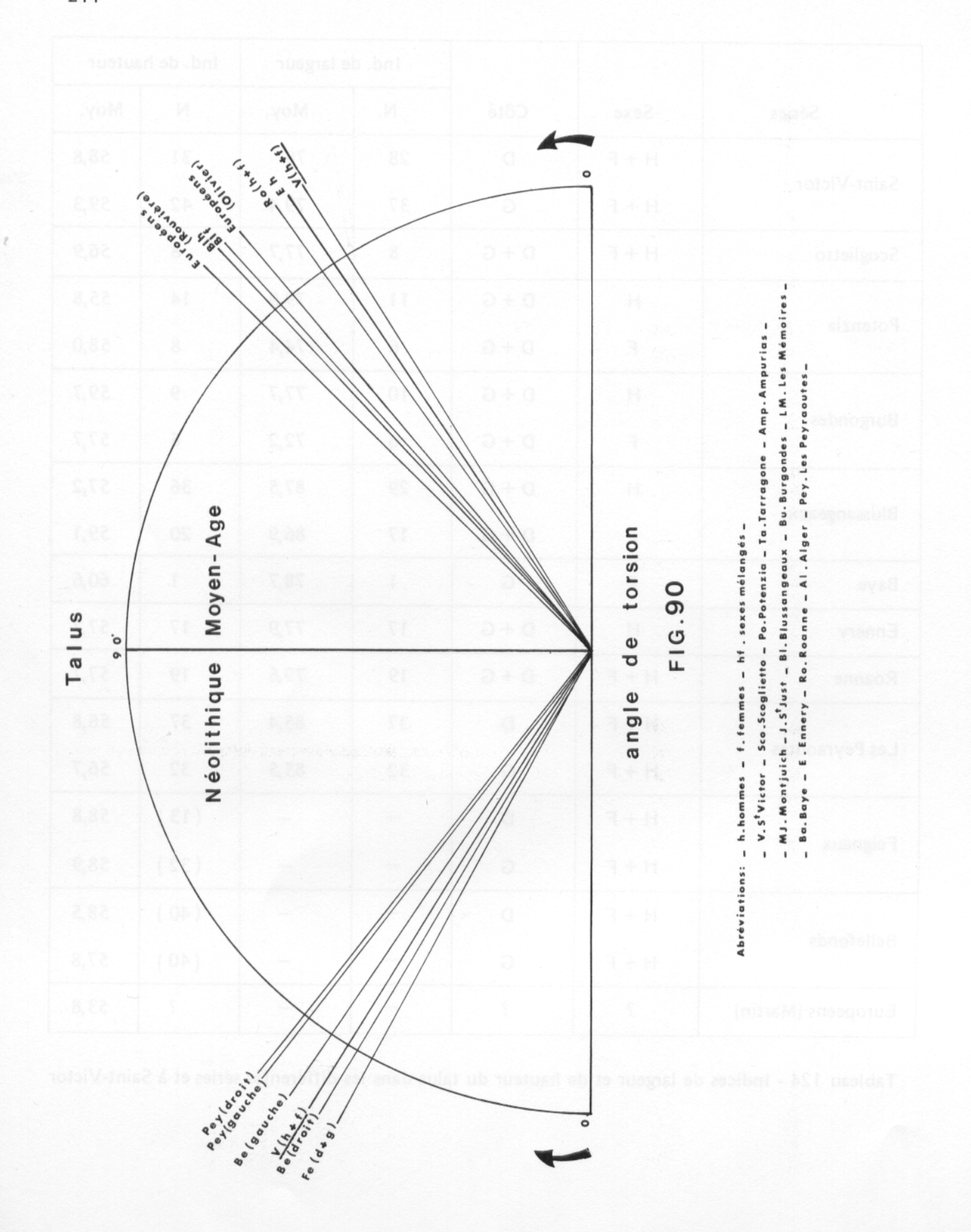


FIG.89

			Ind. d	e largeur	Ind. de h	auteur
Séries	Sexe	Côté	N	Moy.	N	Moy.
Saint-Victor	H+F	D	28	79	31	58,8
341112-110101	H + F	G	37	79,4	42	59,3
Scoglietto	H + F	D + G	8	77,7	8	56,9
Potenzia	Н	D + G	11	79,9	14	55,8
T GLETIZIA	F	D + G	6	74,4	8	58,0
Burgondes	Н	D + G	10	77,7	9	59,
Burgondes	F	D + G	6	72,2	6	57,
Blussangeaux	Н	D + G	29	87,5	36	57,2
Didssangeaux	F	D + G	17	86,9	20	59,
Baye	o Ē	G	1	78,7	1	60,6
Ennery	Н	D + G	17	77,9	17	57,7
Roanne	H+F	D + G	19	79,6	19	57,7
Les Peyraoutes	H + F	D	37	85,4	37	56,8
Les reyraoutes	H + F	G	32	85,5	32	56,7
Feignauy	H + F	D	-	_	(13)	58,8
Feigneux	H + F	G	_	_	(32)	58,9
Bellefonds	H + F	D		_	(40)	58,5
Bellefonds	H+F	G	-	- /	(40)	57,8
Européens (Martin)	?	?	/ - /	1	?	53,8

Tableau 124 - Indices de largeur et de hauteur du talus dans les différentes séries et à Saint-Victor

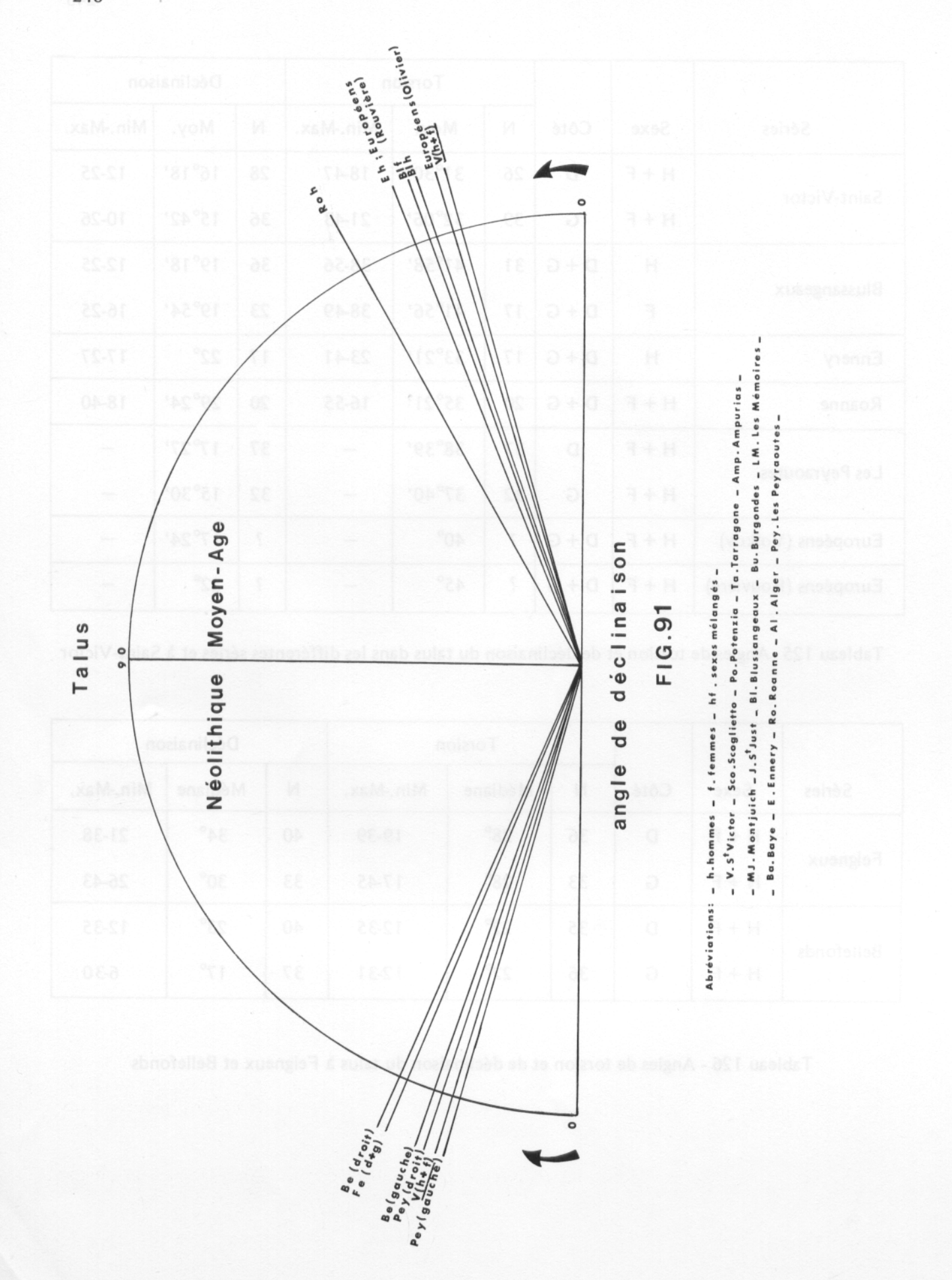


				Torsic	n		Déclinai	son
Séries	Sexe	Côté	N	Moy.	MinMax.	N	Moy.	MinMax
Saint-Victor	H + F	D	26	31°30′	18-47	28	16°18′	12-25
Saint-Victor	H + F	G	39	32°06′	21-43	36	15°42'	10-26
Blussangeaux	Н	D + G	31	41°58′	38-56	36	19°18′	12-25
	F	D + G	17	41°56′	38-49	23	19°54′	16-25
Ennery	Н	D + G	17	33°21′	23-41	17	22°	17-27
Roanne	H + F	D + G	20	35°21′	16-55	20	29°24'	18-40
Les Peyraoutes	H + F	D	37	38°39'	_	37	17°27′	_
Les reyraoutes	H + F	G	32	37°40'	_	32	15°30'	_
Européens (Volkov)	H + F	D + G	?	40°	_	?	17°24'	_
Européens (Rouvière)	H+F	D + G	?	45°	_	?	22°	_

Tableau 125 - Angles de torsion et de déclinaison du talus dans les différentes séries et à Saint-Victor

Séries Sexe					Torsio	n		Déclinais	on
	Côté	N	Médiane	MinMax.	N	Médiane	MinMax.		
Feigneux	H + F	D	36	28°	19-39	40	34°	21-38	
- Janear	H + F	G	33	28°	17-45	33	30°	26-43	
Bellefonds	H + F	D	35	22°	12-35	40	23°	12-35	
	H+F	G	36	22°	12-31	37	17°	6-30	

Tableau 126 - Angles de torsion et de déclinaison du talus à Feigneux et Bellefonds



6. Angle d'écartement du col

Faible à Saint-Victor, il rejoint celui des Européens de T.H. Volkov (1903-1904) et des Néolithiques des Peyraoutes (fig. 91).

II - CARACTERES DESCRIPTIFS

1. Facettes articulaires surnuméraires

M. Tran-Anh et M. Le Ngoc Huong (1966) dans leur étude de ces facettes chez le Vietnamien ont insisté sur l'identification de celles-ci. Ils distinguent les véritables facettes des expansions antérieures de la trochlée. Nous les avons suivis et retenons les morphotypes suivants (fig. 92) :

- 1. pas de facettes ni d'extension de la trochlée
- II. extension antérieure et latérale de la trochlée
- III. extension antérieure et médiale de la trochlée
- IV. facette latérale
- V. facette médiale
- VI. facette latérale et médiale. Cette dernière est le plus souvent une simple extension.

	1	П	III	IV	V	VI	total
Saint-Victor	43	8	1	11	0	5	68

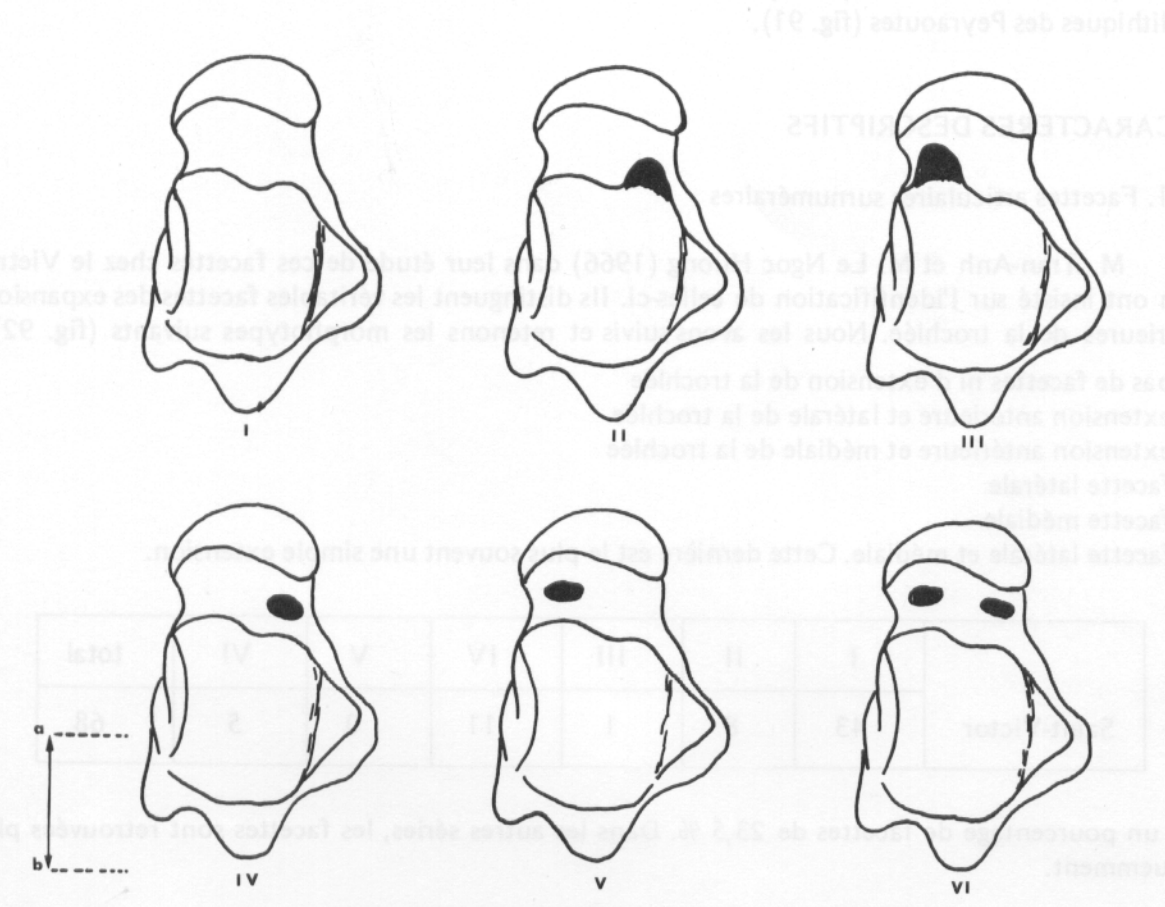
Soit un pourcentage de facettes de 23,5 %. Dans les autres séries, les facettes sont retrouvées plus fréquemment.

séries	absente	médiale	latérale	double	totale
Saint-Victor	43	0	11	5	59
Feigneux	18	0	46	6	70
Bellefonds	23	3	42	9	77
Les Peyraoutes	34	6	22	7	69
Ennery	17	21 - 1	18	1 - 0	35

Tableau 127 - Fréquence des facettes surnuméraires du talus dans les différentes séries et à Saint-Victor

La différence de nomenclature entre ces deux tableaux vient de la distinction entre simple extension et facette vraie. Le taux élevé des facettes à Ennery est surprenant pour un site médiéval. En revanche, les séries préhistoriques ont classiquement des facettes surnuméraires fréquentes qui témoignent de l'usage de postures avec hyperflexion dorsale du pied.

Rappelons que les facettes et les extensions de la surface articulaire inférieure du tibia se



FACETTES SURNUMERAIRES DU TALUS (vue supérieure)

FIG.92



FIG.93

retrouvent à Saint-Victor dans 52,8 % des cas. Ce pourcentage est proche de celui des surfaces correspondantes du talus (58,1). Les facettes tibiales externes vraies existent dans 25 % des cas. Les facettes astragaliennes latérales et doubles s'observent sur 27,1 % des os. Nos chiffres sont comparables.

2. Os trigone - os trigonum

Os surnuméraire du tarse, il se situe à la partie postérieure du talus, en arrière du tubercule postéro-externe de cet os (tuberculum laterale). Quatre aspects principaux s'observent (fig. 93) :

- 1. absent, les deux tubercules postérieurs sont sensiblement au même niveau
- II. tubercule postéro-externe nettement plus développé que l'interne
- III. tubercule postéro-externe fusionné avec l'os trigone : processus trigonal (processus postérior tali)
- IV. os trigone soudé au tubercule postérieur mais nettement individualisé.

séries	1	Ш	III	IV	douteux	total
Saint-Victor	36	3	37	2	0	78
Feigneux Bellefonds	22 28	na grana an Mar grana and		43 37	9 23	74 88

Tableau 128 - Fréquence de l'os trigone dans les différentes séries et à Saint-Victor

L'os trigone est fusionné dans près de la moitié des cas dans ces trois séries. Les différences ne sont pas significatives.

3. Angle de la facette malléolaire externe (facies malleolaris medialis)

Cet angle est formé par l'intersection du plan supérieur de la trochlée et de celui de la facette péronière. Nous en distinguons deux types :

- angle sensiblement droit: 18

- angle nettement obtus : 61

total 79

4. Fossette péronière

Située en arrière de la facette articulaire pour le péroné, elle reçoit l'extrémité distale supérieure du ligament péronéo-astragalien postérieur (lig. talofibulare posterius) venant de la fossette digitale du péroné.

séries	esquissée	moyenne	profonde	total
Saint-Victor	20	26	34	80
Feigneux	10	23	35	68
Bellefonds	18	33	56	107

Tableau 129 - Développement de la fossette péronière dans les différentes séries et à Saint-Victor

Rappel : fossette digitale du péroné à Saint-Victor : esquissée : 0, moyenne : 16, profonde : 46, total : 62.

La fossette péronière est moins creusée que la fossette digitale. Cela semble lié à la moindre surface de cette dernière et à la séparation distale du ligament en deux faisceaux. L'autre faisceau se fixe sur le tubercule postéro-externe.

5. Facette tibiale - facies malleolaris medialis

A la suite de E. Patte (1975) nous avons distingué trois types :

- 1. la facette tend nettement à s'étaler en avant (supérieur à 5 mm environ)
- II. simple amorce de ce mouvement (inférieur ou égal à 5 mm)
- III. aucun étalement.

séries	I	П	['] III	total
Saint-Victor	29	37	21	87
Feigneux	37	16	11	64
Bellefonds	59	29	17	105

Tableau 130 - Développement de la facette tibiale dans les différentes séries et à Saint-Victor

L'étalement est moins prononcé à Saint-Victor que dans les séries néolithiques. Celles-ci se rapprochent des Noirs d'A.O.F. étudiés par Solier et Gouaze (cités par E. Patte, 1975).

6. Facette calcanéenne antérieure - facies articularis calcanea anterior

Trois cas se sont présentés :

- I. surface unique
- II. surface dédoublée par une crête
- III. deux surfaces distinctes.

séries	1	11	III	total
Saint-Victor	7	55	11	73
Les Peyraoutes	10	26	9	45

Tableau 131 - Variation de la facette calcanéenne antérieure du talus aux Peyraoutes et à Saint-Victor

Les facettes sont le plus souvent dédoublées dans les deux populations.

Conclusion

Les dimensions du talus à Saint-Victor sont moyennes pour une série médiévale et dépassent nettement celles des populations néolithiques. Les facettes surnuméraires sont peu fréquentes, cela montre la rareté de l'usage de postures en hyperflexion dorsal du pied. L'os trigone est fusionné ou absent. Les insertions ligamentaires sont peu marquées. La facette calcanéenne antérieure est le plus souvent dédoublée.